

## بررسی تغییرهای درصد تاج پوشش گیاهی با استفاده از داده‌های ماهواره‌ای طی سالهای ۱۳۵۲ تا ۱۳۸۷ (مطالعه موردی: پناهگاه حیات وحش موته)

وحید راهداری<sup>۱\*</sup>، سعیده ملکی<sup>۲</sup>، علیرضا سفیانیان<sup>۳</sup>، سید جمال الدین خواجه‌الدین<sup>۴</sup> و احمد پهلوانروی<sup>۵</sup>

۱- نویسنده مسئول، مرتبی دانشکده منابع طبیعی، دانشگاه زابل پست‌الکترونیک: vahid Rahdary@yahoo.com

۲- مرتبی، دانشکده منابع طبیعی دانشگاه زابل

۳- استادیار، دانشکده منابع طبیعی دانشگاه صنعتی اصفهان

۴- استاد، دانشکده منابع طبیعی دانشگاه صنعتی اصفهان

۵- استادیار، دانشکده منابع طبیعی دانشگاه زابل

تاریخ پذیرش: ۹۰/۱۱/۲۹

تاریخ دریافت: ۸۹/۱۰/۰۵

### چکیده

از ابزارهای مؤثر در زمینه مطالعات علوم مرتع و پوشش گیاهی بهره‌گیری از داده‌های ماهواره‌ای می‌باشد. در این مطالعه جهت تهیه نقشه درصد تاج پوشش گیاهی پناهگاه حیات وحش موته در استان اصفهان طی سالهای ۱۳۵۲ تا ۱۳۸۷ از تصاویر ماهواره‌ای استفاده شد. به این منظور ابتدا تصویحهای مورد نیاز بر روی تصاویر انجام شد. سپس شاخصهای گیاهی حاصل از تصاویر سنجنده‌های MSS سال ۱۳۵۲، TM سال ۱۳۶۶، TM سال ۱۳۷۸ و تصویر سنجنده III LISS ۳ مربوط به سال ۱۳۸۷ تهیه گردید. بهمنظور ایجاد همبستگی بین درصد تاج پوشش گیاهی و شاخصهای گیاهی، داده‌های ۲۹۰ محل نمونه‌برداری با پراکنش مناسب و به صورت سیستماتیک-تصادفی در منطقه برداشت گردید. با استفاده از داده‌های موجود و شاخصهای گیاهی تهیه شده، درصد تاج پوشش گیاهی را برای سالهای قبل تخمين زده و میزان همبستگی بین شاخصهای گیاهی بدست‌آمده از هر تصویر و داده‌های میدانی محاسبه شد. نتایج نشان داد که شاخص گیاهی SAVI تهیه شده از تصاویر، دارای بیشترین همبستگی به میزان ۷۸٪ با تاج پوشش گیاهی بود. با استفاده از مدل بدست‌آمده از شاخص SAVI نقشه درصد تاج پوشش گیاهی در چهار طبقه تهیه و در پایان تغییرهای ایجاد شده در درصد تاج پوشش گیاهی با استفاده از روش مقایسه پس از طبقه‌بندی مشخص شد. نتایج مطالعه نشان داد در بین سالهای ۱۳۵۲ تا ۱۳۸۷، درصد تاج پوشش گیاهی در منطقه مورد مطالعه روند نزولی داشته، به‌طوری‌که پوشش‌های کم‌تراکم صفر تا ۱۰ درصد از ۴۰۶۲ هکتار به ۹۵۹۷ هکتار افزایش داشته‌اند که با کاهش پوشش ۱۰ تا ۲۰ درصد همراه بوده است.

**واژه‌های کلیدی:** داده ماهواره، موته، شاخص گیاهی، ضریب خاک، تاج پوشش گیاهی، بارزسازی تغییرها

### مقدمه

مطالعات پوشش گیاهی از اولین تحقیقهایی هستند که با استفاده از داده‌های ماهواره‌ای در حوزه مدیریت منابع طبیعی انجام شد. وارد شدن اولین ماهواره مطالعه منابع طبیعی در سال ۱۹۷۲ به فضای امکان تهیه تصاویر دوره‌ای و پایش پوشش گیاهی را فراهم نموده است (برهانی، ۱۳۸۰ و علوی پناه، ۱۳۸۲). گیاه دارای رفتار بازتابش طیفی ویژه‌ایست که از

خصوصیات طیفی آن برای تهیه شاخصهای گیاهی استفاده می‌شود. شاخصهای گیاهی ترکیبیهای مختلفی از داده‌های ماهواره‌ای چند طیفی برای تولید یک تصویر در ارائه وضعیت پوشش گیاهی را در اختیار قرار می‌دهند (علوی پناه، ۱۳۸۲). در جدول ۱ معادله‌های مربوط به برخی از شاخصهای گیاهی مورد استفاده در این مطالعه نشان داده شده است (Alexander & Millington, ۱۹۹۵؛ Estman, ۱۹۹۵). در این جدول، مقادیر a و b از معادله خط خاک ۲۰۰۰

(Tommeevik *et al.*, ۲۰۰۳؛ Masoud & Koike, ۲۰۰۶) برای تهیه نقشه پوشش گیاهی منطقه مورد مطالعه و با توجه به بیابانی بودن منطقه از شاخص SAVI جهت کاهش اثر پس زمینه خاک استفاده کردند و مقدار ضریب خاک را ۰/۵ در نظر گرفتند. Baret و Rondeaux (۱۹۹۶) در بررسیهای خود به این نتیجه رسیدند که شاخص MSAVI، بیشترین حساسیت را به درصد پوشش گیاهی داشته و شاخص NDVI در رده بعدی قرار گرفته است. آنها همچنین بیان کردند که خاک زمینه تأثیر بسیار زیادی در رفتار طیفی تاج پوشش گیاهی داشت.

یکی از روش‌های بررسی تغییرات کاربری و پوشش اراضی، روش مقایسه پس از طبقه‌بندی تصاویر ماهواره می‌باشد. مقایسه پس از طبقه‌بندی، براساس تصاویر گروه‌بندی شده است که در آن تصاویر دو یا چند تاریخ به طور مستقل طبقه‌بندی و بعد انطباق داده می‌شوند و به این ترتیب مناطق دچار تغییر مشخص و نقشه تغییرها ایجاد می‌شود. مهمترین فایده این روش، توانایی تولید ماتریسی از اطلاعات تغییرها و کاهش اثر خارجی اتمسفر و اختلافهای محیطی بین تصاویر چندزمانه است Ling-Chen *et al.*, (Aniya & Kamusoko, ۲۰۰۶)

.(Yang & Lo, ۲۰۰۲؛ Luna & Cesar, ۲۰۰۳؛ ۲۰۰۶ Aniya و Mundia و ۲۰۰۶) در مطالعه خود به منظور بارزسازی تغییرها در منطقه‌ای از نایروبی، از داده‌های سنجنده‌های ETM<sup>+</sup> مربوط به سال ۱۹۹۷، TM سال ۱۹۸۸ و MSS سال ۱۹۷۶ استفاده کردند. آنها به منظور زمین‌مرجع کردن داده‌های خود، ابتدا تصویر TM را با استفاده از نقشه توپوگرافی ۱:۵۰۰۰۰ مربوط به سال ۱۹۸۸ و با ۳۰ نقطه مشترک بین تصویر و نقشه با میانگین خطای مربعات کمتر از ۰/۵ ثبت کردند، سپس ثبت تصاویر ETM<sup>+</sup> و MSS را با استفاده از نقاط مشترک به تصویر TM انجام دادند و با استفاده از روش نمونه‌برداری مجدد<sup>۹</sup> قدرت تفکیک مکانی آنها را به ۳۰ متر تبدیل کردند. آنها ضمن بیان تأثیرگذار بودن قدرت تفکیک طیفی و مکانی

بدست آمده و L ضریب خاک بین صفر تا ۱ می‌باشد. در مناطق مختلف، با توجه به پوشش زمین و میزان تاج پوشش گیاهی شاخصهای متفاوتی برای توصیف وضعیت پوشش گیاهی انتخاب می‌شوند. در مناطق خشک با پوشش گیاهی پراکنده که بازتاب خاک زیاد است، شاخصهایی انتخاب می‌شوند که به طور مؤثری از میزان اثر خاک بکاهند (Masoud & Koike, ۲۰۰۶، Tommeevik *et al.*, ۲۰۰۳). به طور کلی شاخصهای Slope-based پوشش گیاهی به دو دسته شاخصهای نسبی و شاخصهای فاصله‌ای Distance-based تقسیم می‌شوند (Estman, ۱۹۹۵).

از شاخصهای نسبی می‌توان به TVI<sup>۱</sup> و NDVI<sup>۲</sup> و PVI<sub>۱-۳</sub><sup>۴</sup> و از شاخصهای فاصله‌ای به PVI<sup>۴</sup>، RVI<sup>۵</sup> و TSAVI<sup>۶</sup>، MSAVI<sup>۷</sup> و WDVI<sup>۸</sup> اشاره کرد. در این جدول a و b مربوط به معادله خط خاک می‌باشند (Estman, ۱۹۹۵).

شاخص SAVI<sup>۸</sup> یک شاخص هیبرید از دو نوع شاخص گیاهی ذکر شده است. کلید این شاخص در مقدار ضریب خاک (L) است. ضریب خاک بین صفر برای پوشش ۱۰۰ درصد تا یک برای خاک لخت متغیر است. مقدار این ضریب در بیشتر مطالعات ۰/۵ در نظر گرفته شده است (Masoud & Koike, ۲۰۰۶، Johnson, ۱۹۹۵؛ khajeddin, ۱۹۹۸).

در بسیاری از مطالعات بررسی تغییرها، اطلاعات مربوط به سالهای گذشته در دسترس نیست. بنابراین باید از روش‌های دیگری جهت مقایسه داده‌ها استفاده کرد

#### ۱-Transform Vegetation index

#### ۲-Normalized Difference Vegetation Index

#### ۳-Ratio Vegetation Index

#### ۴-Perpendicular Vegetation Index

#### ۵-Mdified Soil Adjuste Vegetation Index

#### ۶-Transformed Soil Adjuste Vegetation Index

#### ۷-Weighted Difference Vegetation Index

#### ۸-Soil Adjusted Vegetation Index

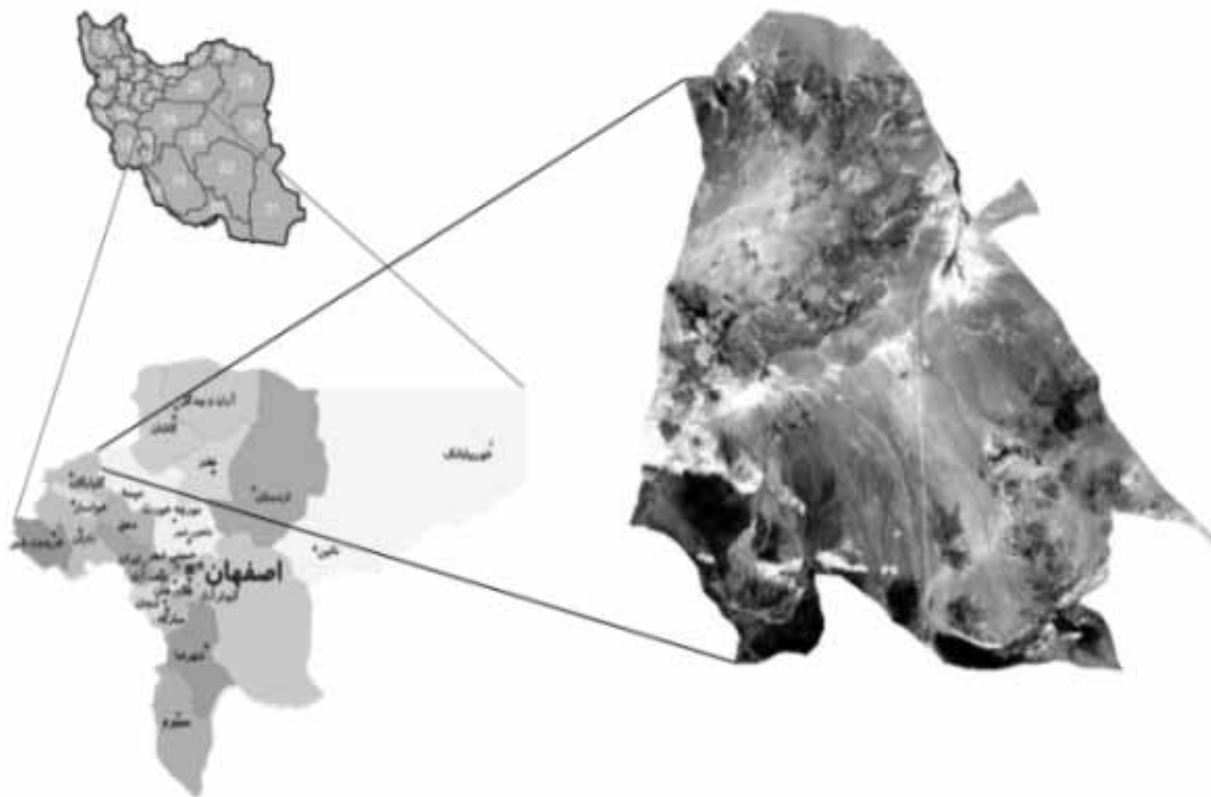
ارتفاع منطقه بین ۱۵۰۰ تا ۳۰۰۰ متر در نوسان است. اقلیم منطقه به روش دومارت و نیمه خشک می‌باشد. حداقل مطلق دما، -۲۹ درجه سانتی گراد در ماه بهمن و حداکثر آن +۴۰ در ماههای تیر و مرداد است. متوسط بارندگی منطقه ۲۶۳ میلی‌متر می‌باشد که بیشترین آن در ماه می باشد. منطقه ۵۸/۲ میلی‌متر و کمترین آن در فصل تابستان حدود ۰/۱ میلی‌متر است. به طور کلی بارندگی منطقه از آبان شروع شده و تا ماه خرداد ادامه پیدا می‌کند. جوامع گیاهی منطقه مورد مطالعه از انواع گیاهان مناطق خشک و نیمه خشک تشکیل شده است. منطقه مورد مطالعه در ناحیه رویشگاه گیاهی ایران- تورانی (بخش‌های استپی، نیمه استپی و کوههای مرتفع) قرار دارد که عمدتاً شامل دشت‌های استپی پوشیده از بوته‌های کوتاه درمنه است. شکل ۲ موقعیت جغرافیایی پناهگاه حیات وحش موته را نشان می‌دهد.

متفاوت سنجنده‌ها در انتخاب روش آشکارسازی تغییرها، از روش مقایسه پس از طبقه‌بندی استفاده کردند. هدف این مطالعه، تهیه نقشه درصد تاج پوشش گیاهی با استفاده از شاخصهای گیاهی تهیه شده از تصاویر ماهواره‌ای و بررسی روند تغییرهای پوشش گیاهی در دوره زمانی مطالعه است.

## مواد و روشها

### منطقه مطالعه

منطقه مورد مطالعه در این تحقیق، پناهگاه حیات وحش موته، واقع در استان اصفهان با مساحت تقریبی ۲۰۴۰۰ هکتار می‌باشد. این منطقه از شمال غربی به شهرستان میمه و از جنوب غربی به شهر دلیجان محدود می‌شود که در محدوده  $۵۰^{\circ} ۱۳'$  تا  $۵۱^{\circ} ۰۲'$  طول شرقی و  $۲۳^{\circ} ۳۳'$  تا  $۰۱^{\circ} ۳۴'$  عرض شمالی قرار گرفته است.



شکل ۱- موقعیت جغرافیایی پناهگاه حیات وحش موته (سفیانیان و همکاران، ۱۳۸۸)

گذشته، مقدار تاج پوشش گیاهی در مناطق امن که به دلیل حفاظت پوشش گیاهی تغییرهای کمتری داشت، همچنین تفسیر چشمی تصاویر رنگی کاذب تهیه شده برای هر تصویر و با توجه به برداشت‌های زمینی پوشش گیاهی در سال ۱۳۸۷، در بیش از ۱۰۰ نقطه به طور نظری تخمین زده شد.

#### داده‌های مورد استفاده

در تحقیق حاضر اطلاعات همراه بیش از ۲۰۰ تصویر بررسی شد و داده‌های با کیفیت مناسب و با قدرت تفکیک مکانی و طیفی نسبتاً مشابه انتخاب گردید. با توجه به در دسترس بودن تصاویر و داده‌های ماهواره‌ای مربوط به سالهای ۱۳۵۲ و ۱۳۸۷، این دوره برای مطالعه انتخاب شد. به ترتیب داده‌های MSS سال ۱۳۵۲، TM در سالهای ۱۳۶۶ و ۱۳۷۷ و LISS III سال ۱۳۸۷ که تمامی تصاویر در اردیبهشت‌ماه و همزمان با برداشت میدانی بودند، سفارش داده شدند. همچنین در این مطالعه از مدل رقومی ارتفاعی (DEM) ۱:۲۵۰۰۰ پردازش‌های تصویر در نرم‌افزار IDRISI انجام گردید.

#### مرحله پیش‌پردازش

تصحیح هندسی بر روی داده‌های ۴ سنجنده با دقت مناسب و میانگین خطای مربعات (RMSE) کمتر از ۰/۸ پیکسل انجام شد. به این ترتیب که جدیدترین تصویر به نقشه توپوگرافی ۱:۲۵۰۰۰ با RMSE برابر ۰/۵ پیکسل و با استفاده از ۳۰ نقطه کنترل با پراکنش مناسب زمین‌مرجع گردید و بعد تصویر TM سال ۱۳۷۷ با استفاده از ۲۰ نقطه مشترک به تصویر اول و سایر تصاویر به یکدیگر ثبت داده شدند. در هنگام ثبت تصاویر با استفاده از روش نمونه‌برداری مجدد، قدرت تفکیک مکانی تصاویر به ۳۰ متر تبدیل گردید. با توجه به کوهستانی بودن قسمتی از منطقه تصحیح توپوگرافی با استفاده از DEM منطقه و

جوامع گیاهی موجود در منطقه نسبتاً محدود است. در جدول ۲، نام علمی ۳۰ گیاهی غالب پناهگاه حیات وحش موته ذکر شده است.

#### نمونه‌برداری میدانی

در این تحقیق نمونه‌برداری میدانی از تاج پوشش گیاهی به صورت سیستماتیک-تصادفی انجام گردید، به این ترتیب که نمونه‌برداری داخل هر تیپ گیاهی به صورت تصادفی انجام شد. هم‌زمان با برداشت تصویر، نمونه‌برداری از پوشش گیاهی به روش سیستماتیک-تصادفی، با محل نمونه‌برداری انجام گردید. با توجه به وسعت هر تیپ، حداقل ۵ محل نمونه‌برداری به فاصله ۱۰۰ متر از هم انداخته شد. از آنجایی که در بیشتر قسمت‌های پناهگاه حیات وحش موته پوشش گیاهی یک اشکوبه است؛ بنابراین نمونه‌برداری به روش اندازه‌گیری دو قطر اصلی انجام شد. مساحت محل نمونه‌برداریها در هر منطقه و تیپ گیاهی با استفاده از روش حداقل مساحت مؤثر ( $7 \text{ m}^2$ ) در نظر گرفته شد. برای ایجاد همبستگی بین قدرت تفکیک مکانی سنجنده و برداشت‌های میدانی، نمونه‌برداری در مناطقی انجام گردید که روند تغییرهای درصد تاج پوشش گیاهی دارای شبکه بود و منطقه نسبتاً وسیع و همگنی از لحاظ تاج پوشش گیاهی را دربرمی‌گرفت. محل نمونه‌برداریها از عوارضی مانند جاده‌ها، مناطق مسکونی و آبراهه‌ها حداقل ۲۰۰ متر فاصله داشتند. مختصات مرکز هر محل نمونه‌برداری با استفاده از دستگاه GPS برداشت گردید. اطلاعات هر محل نمونه‌برداری شامل: درصد تاج پوشش گیاهی برای تمام گونه‌های موجود در محل نمونه‌برداری، درصد سنگ و سنگریزه، خاک لخت برای ۲۹۰ پلات در اواخر اردیبهشت و اوایل خردادماه، اندازه‌گیری و یادداشت نقشه‌های تهیه شده کنار گذاشته شدند.

در این مطالعه برای ایجاد همبستگی بین مقادیر پوشش گیاهی و شاخص SAVI مربوط به تصاویر

به منظور بررسی میزان همبستگی در صد تاج پوشش هر محل نمونه برداری با شاخصهای گیاهی، تحلیل رگرسیون خطی ساده بین در صد تاج پوشش محل نمونه برداریها به عنوان متغیر وابسته و مقادیر متضاد هر محل نمونه برداری در شاخصهای گیاهی به عنوان متغیر مستقل در نرم افزار Excel انجام شد و ضریب توصیف ( $R^2$ ) و همبستگی (r) آنها محاسبه و مدل‌های در صد تاج پوشش SAVI تهیه گردید. در بین شاخصهای گیاهی، شاخص SAVI دارای بیشترین مقدار ضریب توصیف در صد تاج پوشش در منطقه بود. بنابراین برای تهیه نقشه در صد تاج پوشش گیاهی از این شاخص استفاده شد. با توجه به دامنه در صد تاج پوشش گیاهی که در نمونه برداریها میدانی از منطقه بدست آمده و مقادیر صفر تا ۱۰۰ در مزارع کشاورزی را شامل می‌شد و با توجه به فراوانی مقادیر بدست آمده از نمونه برداری میدانی، مقادیر در صد تاج پوشش گیاهی به ۴ طبقه (۰ تا ۱۰٪، ۱۰ تا ۲۰٪، ۲۰ تا ۴۰٪ و بیش از ۴۰٪ در صد) تقسیم شدند. با استفاده از مدل تهیه شده از شاخص SAVI آستانه بالای هر کلاس در شاخص گیاهی محاسبه شد. نقشه پوشش گیاهی با استفاده از آستانه‌های بدست آمده و اعمال تفکیک تاری<sup>۳</sup> بر روی شاخص SAVI تهیه شد.

از آنجایی که امکان نسبت دادن مستقیم مقادیر نمونه برداریهای تاج پوشش سال ۱۳۸۷ به سالهای گذشته نبود، برای تهیه مدل در صد تاج پوشش گیاهی سالهای ۱۳۶۷، ۱۳۶۸ و ۱۳۵۱ فرض شد که شاخص SAVI همچنین دارای همبستگی بالا با در صد تاج پوشش گیاهی در زمانهای ذکر شده نیز است. بنابراین تهیه نقشه در صد تاج پوشش گیاهی در سالهای یادشده، به این گونه انجام شد که در صد تاج پوشش گیاهی در مناطق قرق که به دلیل حفاظت تاج پوشش تخریب نشده بود و همچنین مناطقی که دارای پوشش گیاهی نسبتاً ثابت مانند گز و نی بودند به عنوان مقادیر بالای ۷۰ در صد تاج پوشش انتخاب شدند

اطلاعات همراه تصویر بر روی آنها اعمال شد. تصحیح رادیومتریک با استفاده از اطلاعات همراه تصاویر انجام گردید. همچنین تصحیح اتمسفریک با استفاده از پدیده تاریک مربوط به سد زاینده‌رود انجام شد. به این ترتیب مقدار عددی بیشتر از صفر در باند مادون قرمز نزدیک مربوط به آب پشت سد زاینده‌رود به عنوان خطای اتمسفریک از هر باند کسر گردید.

**تهیه نقشه در صد تاج پوشش گیاهی**  
به منظور تهیه نقشه در صد تاج پوشش گیاهی، با استفاده از تصویر ماهواره‌ای موجود، شاخصهای گیاهی جدول ۱ تهیه شدند.

در تهیه شاخصهای گیاهی TSAVI، PVI<sub>1-۳</sub> و MSAVI، PVI<sub>۱</sub> و WDVI از مفهوم خط خاک استفاده شد. به این منظور ابتدا با توجه به برداشت‌های میدانی، تفکیک تاری بر روی شاخص NDVI اعمال شد و لایه خاک از تصویر جدا گردید. سپس با استفاده از لایه خاک و انجام رگرسیون خطی بین باندهای قرمز (باند ۲) به عنوان متغیر مستقل (X) و مادون قرمز نزدیک (باند ۳) به عنوان متغیر وابسته (Y)، معادله خط خاک جهت تولید شاخصهای TSAVI، PVI<sub>۲</sub> و PVI<sub>۳</sub> تهیه شد.

$$Y: ۱/۳۸ X + ۰/۷۲$$

جهت تهیه شاخصهای PVI<sub>۱</sub>، PVI<sub>۲</sub> و WDVI و MSAVI، PVI<sub>۱</sub> و رگرسیون خطی بین باندهای قرمز به عنوان متغیر وابسته و باند مادون قرمز نزدیک به عنوان متغیر مستقل انجام شد و معادله خط خاک تهیه گردید.

$$Y: ۰/۷۱ X + ۰/۰۲۳$$

با استفاده از شب خط<sup>۱</sup> و عرض از مبدأ<sup>۲</sup> معادله‌های خاک تهیه شده، اقدام به تولید شاخصهای گیاهی مذکور با استفاده از دو باند قرمز و مادون قرمز نزدیک شد.

۱-Slope

۲-Intercept

بررسی دقت نقشه‌های سالهای ۱۳۵۲، ۱۳۶۷ و ۱۳۷۷ با توجه به در دسترس نبودن اطلاعات مربوط به پوشش گیاهی از مقایسه تصاویر رنگی کاذب و مقدار عددی شاخصهای گیاهی استفاده شد و تنها به یک ارزیابی کلی با محاسبه ضریب کاپا و صحت کلی اکتفا گردید.

در نهایت برای بررسی کمیت و کیفیت تغییرها، نقشه‌ها روی هم گذاری شدند و روند تغییرها به روش مقایسه پس از طبقه‌بندی مشخص گردید.

## نتایج

پناهگاه حیات وحش موته در یک منطقه نیمه‌بیابانی قرار گرفته است، بنابراین با توجه به سطح تاج‌پوشش گیاهی کم در بیشتر قسمتهای پناهگاه، بازتاب پس زمینه خاک در این مناطق بسیار زیاد می‌باشد؛ به‌طوری‌که بازتابش پوشش گیاهی را تحت تأثیر قرار می‌دهد (سفیانیان و همکاران، ۱۳۸۸). در این مطالعه به‌منظور کاهش اثر بازتاب خاک از شاخصهایی استفاده شد که در آنها از اثر خاک کاسته می‌شود.

جدول ۳، مدل پوشش گیاهی تهیه شده با استفاده از شاخصهای گیاهی تهیه شده از تصویر LISS III را نشان می‌دهد.

و به‌علاوه با مقایسه تصویر SAVI و FCC مربوط به تصویر سال ۱۳۸۷ و SAVI و FCC تصاویر زمانهای مورد نظر، تاج‌پوشش آنها تخمین زده شد. سپس مقادیر متناظر نقاط انتخاب شده در شاخص گیاهی SAVI بدست‌آمد و با انجام آنالیز رگرسیون مشابه مرحله قبل مدل‌های پوشش گیاهی برای هر تصویر تهیه شد.

با توجه به دامنه درصد تاج‌پوشش گیاهی و فراوانی میزان تاج‌پوشش که در نمونه‌برداریهای میدانی بدست‌آمده بود با تحلیل آنالیز واریانس داده‌ها، مقادیر درصد تاج‌پوشش گیاهی به ۴ طبقه ( $0\text{--}20\%$ ،  $20\text{--}40\%$  و بیش از  $40\%$  درصد) تقسیم شدند. با استفاده از مدل تهیه شده از شاخص SAVI، آستانه بالای هر کلاس در شاخص گیاهی محاسبه شد. نقشه پوشش گیاهی با استفاده از آستانه‌های بدست‌آمده و اعمال کلاس‌بندی مجدد بر روی شاخص SAVI تهیه شد.

برای بررسی دقت نقشه درصد تاج‌پوشش گیاهی سال ۱۳۸۷ تعداد ۸۰ محل نمونه‌برداری که در تهیه مدل تاج‌پوشش گیاهی از آنها استفاده نشده بود به‌صورت تصادفی انتخاب شدند. سپس دقت نقشه‌های تولیدی با استفاده از این نقاط مورد بررسی قرار گرفت و ضریب کاپا<sup>۱</sup>، صحت کلی<sup>۲</sup>، خطای امسيون<sup>۳</sup> و کمسيون<sup>۴</sup> دقت کاربر و تولیدکننده مورد بررسی قرار گرفت. به‌منظور

۱-Kappa Coefficient

۲-Total Accuracy

۳-Omission Error

۴-Commission Error

جدول ۱- فرمول محاسبه برخی از شاخصهای گیاهی

| نام شاخص               | فرمول  |
|------------------------|--|
| <b>NDVI</b>            | $\frac{NIR - RED}{NIR + RED}$                                    |
| <b>TSAVI</b> ,         | $\frac{a.((NIR - a)(RED - b))}{RED + a.NIR - a.b}$               |
| <b>DVI</b>             | $a.NIR - RED$  |
| <b>PVI</b>             | $\frac{b.NIR - RED + a}{\sqrt{1+b^2}}$                           |
| <b>PVI<sub>r</sub></b> | $\frac{(NIR - a).(RED + b)}{\sqrt{1+a^2}}$                       |
| <b>SAVI</b>            | $\left( \frac{(NIR - R)}{(NIR + RED + L)} \right) \cdot (1 + L)$ |
| <b>RVI</b>             | $\frac{NIR}{RED}$  |
| <b>RATIO</b>           | $\frac{RED}{NIR}$  |
| <b>TVI</b>             | $\sqrt{\left( \frac{NIR - RED}{NIR + RED} \right)} + 0.5$        |
| <b>WDVI</b>            | $NIR - (a.RED)$  |
| <b>MSAVI</b>           | $2NIR + 1 - \sqrt{2(NIR + 1)^2 - 8(NIR - RED)}$                  |

جدول ۲- جوامع اصلی پناهگاه حیات وحش موتله (سفیانیان و همکاران، ۱۳۸۸)

|             |          |            |            |
|-------------|----------|------------|------------|
| Acantolimon | Atriplex | Eremurus   | Noaea      |
| Alhagi      | Carex    | Euphorbia  | Pteropyrum |
| Anabasis    | Cousinia | Halocnemum | Peganum    |

|                         |                   |                    |                   |
|-------------------------|-------------------|--------------------|-------------------|
| Artimisia<br>Astragalos | Dorema<br>Ephedra | Hertia<br>Limonium | Scariola<br>Stipa |
|-------------------------|-------------------|--------------------|-------------------|

جدول ۳- مدل‌های تولید شده با استفاده از شاخصهای گیاهی

| Kappa.C | ضریب توصیف R | مدل پوشش گیاهی         | نام شاخص گیاهی   |
|---------|--------------|------------------------|------------------|
| ۰/۷۹    | ۰/۷۸**       | $Y = ۳۹۲/۷X + ۶۴/۶۶$   | SAVI             |
| ۰/۷۸    | ۰/۷۷**       | $Y = ۱۷۹/۳X + ۲۴/۸۹$   | NDVI             |
| ۰/۷۵    | ۰/۷۶**       | $Y = -۹۷/۴۱X + ۱۲۵/۴۳$ | RVI              |
| ۰/۱۶    | ۰/۷**        | $Y = ۰/۷۲X - ۷/۷$      | DVI              |
| ۰/۲۱    | ۰/۶۹**       | $Y = ۱/۲۶X - ۷$        | PVI <sub>۱</sub> |
| ۰/۰۱۵   | ۰/۶۷**       | $Y = ۱/۱۱X + ۳۰/۱۷$    | PVI <sub>۲</sub> |
| ۰/۰۸۷   | ۰/۶۳**       | $Y = ۰/۸۹X - ۱۴/۴۶$    | PVI <sub>۳</sub> |
| ۰/۲۵    | ۰/۷**        | $Y = ۱/۲۶X + ۷/۰۲$     | PVI              |
| ۰/۷۸    | ۰/۷۷**       | $Y = ۱۶۴/۹۷ + ۳۳$      | TSAVI            |
| ۰/۷۱    | ۰/۴۹**       | $Y = ۰/۴۴X + ۴۰۰$      | WDVI             |
| ۰/۷۱    | ۰/۶۳**       | $Y = ۱۱/۳ - ۳۲/۷$      | MSAVI            |

ضریب توصیف درصد تاجپوشش گیاهی و ضریب کاپا بود. در این مطالعه علاوه بر ضریب توصیف، همبستگی بین درصد تاجپوشش گیاهی و شاخص گیاهی نیز مورد بررسی قرار گرفت و مشخص شد که تمامی شاخصهای تهیه شده با تاجپوشش گیاهی در سطح ۰/۰۱ دارای همبستگی معنی‌داری بودند.

جدول ۴، مدل‌های تهیه شده با استفاده از شاخص SAVI و ضرایب توصیف آنها را نشان می‌دهد.

همان‌طور که جدول فوق نشان می‌دهد شاخصهای TSAVI، PVI<sub>۲</sub>، PVI<sub>۳</sub>، DVI، MSAVI، WDVI از ضرایب توصیف (R) بالایی برخوردار می‌باشد. در این جدول متغیر Y مربوط به تاجپوشش گیاهی و متغیر X مربوط به شاخص گیاهیست. شاخص WDVI دارای ضریب توصیف متوسط ۰/۴۹ و کمتر از سایر شاخصهای بررسی شده است.

شاخص گیاهی SAVI در این منطقه دارای بیشترین

جدول ۴- مدل‌های انتخاب شده از آنالیز رگرسیون برای تهیه نقشه درصد تاجپوشش گیاهی

| ضریب توصیف R | معادله               | شاخص SAVI  |
|--------------|----------------------|------------|
| ۰/۷۳         | $۴۰/۹۵X + ۱۶/۱۳ = Y$ | TM - ۱۳۷۶  |
| ۰/۸۹         | $۳۳۳/۴۶X + ۲۵ = Y$   | TM - ۱۳۶۶  |
| ۰/۸۵         | $۲۸۵/۷۹X + ۲۷ = Y$   | MSS - ۱۳۵۱ |

الف- د، به ترتیب نقشه درصد تاجپوشش گیاهی برای سالهای ۱۳۵۱، ۱۳۶۶، ۱۳۷۷ و ۱۳۸۷ را نشان می‌دهند. این نقشه‌ها نشان می‌دهند که بیشتر پوشش‌های <۴۰٪ و

نقشه درصد پوشش گیاهی هر سال با استفاده از مدل‌های تهیه شده از شاخص SAVI برای تصویر سال ۱۳۵۱، سال ۱۳۶۶ و سال ۱۳۷۷ تهیه گردید. شکل ۲

استفاده شد که مقدار آنها برای تصاویر دیگر با توجه به تصاویر رنگی کاذب و شاخصهای گیاهی هر تصویر برآورد شد. جدول ۵ ماتریس خطای نقشه درصد تاج پوشش گیاهی سال ۱۳۸۷ را نشان می‌دهد. ضریب کاپا برای سایر نقشه‌ها بین ۰/۷ تا ۰/۸ محاسبه شد. جدول ۵، ماتریس خطای نقشه پوشش گیاهی تهیه شده با استفاده از تصویر LISS III را نشان می‌دهد.

۲۰ تا ۴۰٪ در داخل مناطق امن و مناطق کوهستانی بالای روستای موتله و کوهستانهای قسمتهای جنوبی منطقه قرار گرفته است. در این تصاویر، مناطق دشتی مرکزی منطقه اکثراً پوشش صفر تا ۱۰ درصد و یا ۱۰ تا ۲۰ درصد دارند.

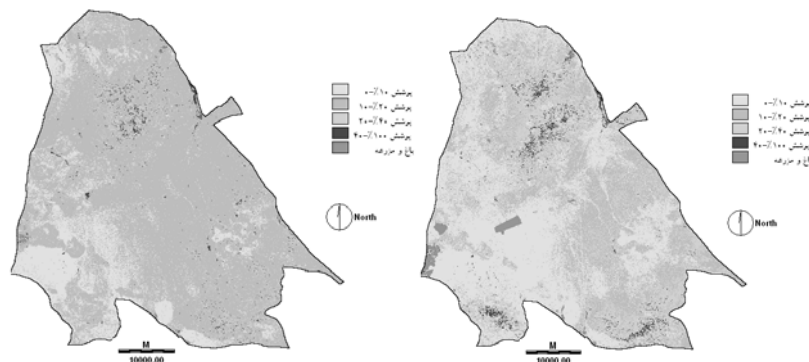
برای بررسی دقیق نقشه‌های تولیدی از ۸۰ محل نمونه برداری که در هنگام تهیه نقشه بکار نرفته بودند،

جدول ۵- دقیق نقشه پوشش گیاهی تهیه شده با استفاده از تصویر LISS III

|                  | دقیق کاربر | خطای کمیسیون | کل پیکسل‌ها | %۴۰-> | %۴۰-۲۰ | %۲۰-۱۰ | %۱۰-۰  |
|------------------|------------|--------------|-------------|-------|--------|--------|--------|
| %۱۰-۰            | ۰/۶۱       | ۰/۰۱۵        | ۹۸۴۸۹       | ۴۳    | ۱۵     | ۱۴۵۵   | ۹۶۹۷۶  |
| %۲۰-۱۰           | ۰/۷۶۲      | ۰/۲۲۷        | ۳۷۰۳۵       | ۵۴    | ۴۴۱    | ۲۸۲۴۶  | ۸۲۹۴   |
| %۴۰-۲۰           | ۰/۸        | ۰/۳۸۷        | ۶۲۹۸        | ۲۳۹   | ۳۸۰۹   | ۲۰۲۷   | ۱۷۳    |
| %۴۰->            | ۰/۹۷۷      | ۰/۰۲۲        | ۵۹۱۱        | ۵۶    | ۰      | ۸۱     | ۸۱     |
| کل پیکسل‌ها      |            | ۱۴۷۷۳۳       | ۶۱۱۲        | ۴۳۶۹  | ۳۱۷۲۸  | ۱۰۰۵۲۴ | %۱۰-۰  |
| خطای امیسیون     |            |              | ۰/۰۵۵       | ۰/۱۱۶ | ۰/۱۰۹  | ۰/۰۸۱  | %۲۰-۱۰ |
| دقیق تولید کننده |            |              | ۰/۹۴۵       | ۰/۸۸۳ | ۰/۰۸۹  | ۰/۹۱۸  | %۴۰-۲۰ |

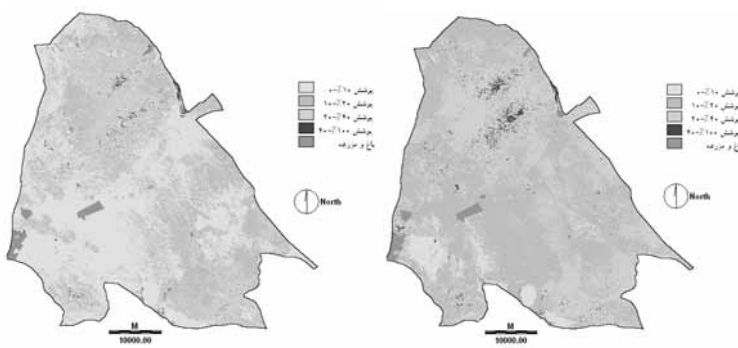
= ضریب کاپا ۰/۸۱

= دقیق کلی ۰/۹۱



شکل ۲- ب: نقشه درصد تاج پوشش گیاهی در سال ۱۳۵۲

شکل ۲- الف: نقشه درصد تاج پوشش گیاهی در سال ۱۳۶۷



شکل ۲-د: نقشه درصد تاجپوشش گیاهی در سال ۱۳۸۷

۱۵۰۱۳۶ هکتار بیشترین سطح منطقه را به خود اختصاص داده و در سال ۱۳۶۶ تاجپوشش ۱۰٪/۲۰ بیشترین تاجپوشش منطقه را تشکیل داده است.

شکل ۲-ج: نقشه درصد تاجپوشش گیاهی در سال ۱۳۷۷

جدول ۶، مساحت طبقه‌های درصد تاجپوشش گیاهی در هر یک از سالهای مطالعه را نشان می‌دهد. براساس این جدول، در سال ۱۳۵۲ پوشش طبقه ۲ با در برگرفتن

جدول ۶- مساحت طبقه‌های تاجپوشش گیاهی طی سالهای ۱۳۵۲ تا ۱۳۸۷

| ۱۳۸۷-LISS III | ۱۳۷۷-TM | ۱۳۶۶-TM | ۱۳۵۲-MSS         |
|---------------|---------|---------|------------------|
| ۹۵۵۹۷         | ۱۰۲۳۷۰  | ۱۲۹۲۱   | ۴۰۱۶۲            |
| ۶۴۱۸۶         | ۶۵۱۱۷   | ۱۰۴۱۱۰  | ۱۵۰۱۳۶           |
| ۳۷۷۱۲         | ۳۲۷۷۲۱  | ۸۱۱۲۶   | ۱۰۸۰۸            |
| ۴۲۵۰          | ۱۴۱۱    | ۲۳۵۳    | ۲۴۶۳             |
|               |         |         | پوشش <۴۰٪        |
|               |         |         | پوشش ۴۰٪-۶۰٪     |
|               |         |         | پوشش ۶۰٪ و بیشتر |

جدول ۷ روند تغییرهای درصد تاجپوشش گیاهی طی سالهای ۱۳۵۲ تا ۱۳۶۶ را نشان می‌دهد. نتایج رویهم‌گذاری نشان داد در این دوره بیشترین تغییرها در طبقه ۲ تاجپوشش گیاهی که جهت عمدۀ آن در راستای افزایش سطح تاجپوشش و تبدیل به طبقه ۳ تاجپوشش بوده است و تاجپوشش طبقه ۰٪/۴۰ روند افزایشی داشته است.

همچنین در این سال تاجپوشش ۴۰٪-۲۰٪ نیز سطح وسیعی از منطقه را دربرگرفته است. در سالهای ۱۳۷۷ و ۱۳۸۷ تاجپوشش کمتر از ۱۰ درصد، قسمت عمدۀ منطقه را تشکیل داده است. بهمنظور بررسی روند تغییرهای پوشش گیاهی، نقشه‌های درصد تاجپوشش تهیه شده بر روی یکدیگر قرار داده شد و کمیت و کیفیت تغییرها بررسی شد. به این ترتیب ابتدا نقشه درصد تاجپوشش گیاهی سال ۱۳۶۶ بر روی نقشه سال ۱۳۵۲ قرار داده شد.

جدول ۷- روند تغییرهای طی سالهای ۱۳۵۲ تا ۱۳۶۶ (هکتار)

| <۴۰٪ پوشش | ۰٪-۲۰٪ پوشش | ۲۰٪-۴۰٪ پوشش | ۴۰٪-۶۰٪ پوشش | ۶۰٪ و بیشتر پوشش |
|-----------|-------------|--------------|--------------|------------------|
| ۸۹        | ۲۶۳۲        | ۲۵۸۵۰        | ۱۱۷۷۷        | ۰٪/۱۰٪ پوشش      |
| ۱۸۶۵      | ۷۹۲۰۲       | ۷۷۲۸۶        | ۱۵۹۹         | ۱۰٪/۲۰٪ پوشش     |
| ۷۹۰       | ۸۶۳۱        | ۱۳۱۱         | ۹            | ۲۰٪/۴۰٪ پوشش     |
| ۶۲۰       | ۱۴۸۶        | ۲۰۸          | ۱۳           | <۴۰٪ پوشش        |

گیاهی و در راستای نزول آنها به طبقه‌های پایین خود است.

بررسی نتیجه رویهم‌گذاری نقشه‌های تاجپوشش سالهای ۱۳۶۶ تا ۱۳۷۷ در جدول ۸ آمده و نشان می‌دهد در این دوره بیشترین تغییرها در طبقه ۲ و ۳ تاجپوشش

جدول ۸- روند تغییرها طی سالهای ۱۳۶۶ تا ۱۳۷۷ (هکتار)

| پوشش <۴۰٪ | پوشش ۴۰-۶۰٪ | پوشش ۶۰-۸۰٪ | پوشش ۸۰-۱۰٪ | پوشش >۱۰٪    |
|-----------|-------------|-------------|-------------|--------------|
| ۱۲        | ۱۳۷         | ۳۱۱         | ۱۲۴۵۱       | ۰-٪/۱۰ پوشش  |
| ۱۱۴       | ۴۴۵۰        | ۲۷۸۱۸       | ۷۱۵۷۹       | ۱۰-٪/۲۰ پوشش |
| ۵۴۵       | ۲۵۹۰۶       | ۳۶۵۸۴       | ۱۷۸۹۵       | ۲۰-٪/۴۰ پوشش |
| ۶۴۰       | ۲۰۹۳        | ۳۱۸         | ۲۳۹         | <٪/۴۰ پوشش   |

تبديل تاجپوشش طبقه ۱ به طبقه‌های بالاتر و تبديل طبقه ۲ به پوشش طبقه ۱ و ۳ است. افزایش میزان تاجپوشش اکثراً در مناطق قرق پناهگاه رخ داده است.

رویهم‌اندازی نقشه‌های سالهای ۱۳۷۷ تا ۱۳۸۷ در جدول ۹ نشان داده شده است. در این دوره نیز بیشترین تغییرها در طبقه ۱ و ۲ تاجپوشش گیاهی و در راستای

جدول ۹- روند تغییرها طی سالهای ۱۳۷۷ تا ۱۳۸۷ (هکتار)

| پوشش <۴۰٪ | پوشش ۴۰-۶۰٪ | پوشش ۶۰-۸۰٪ | پوشش ۸۰-۱۰٪ | پوشش >۱۰٪    |
|-----------|-------------|-------------|-------------|--------------|
| ۲۲۴       | ۵۰۸۹        | ۲۲۲۲۸       | ۷۳۶۴۰       | ۰-٪/۱۰ پوشش  |
| ۴۵۴       | ۱۴۱۱۶       | ۳۱۸۳۴       | ۱۸۵۷۴       | ۱۰-٪/۲۰ پوشش |
| ۲۷۶۳      | ۱۷۹۲۹       | ۸۹۱۳        | ۳۰۰۲        | ۲۰-٪/۴۰ پوشش |
| ۶۷۹       | ۴۴۶         | ۱۱۰         | ۹۶          | <٪/۴۰ پوشش   |

منطقه به ۰-٪/۳۱ در سال ۱۳۸۷ کاهش یافته است. همچنین طی این دوره پوشش‌های طبقه ۳ و ۴ در مناطق امن پناهگاه افزایش یافته‌اند. روند کلی تغییرها در جدول ۱۰ نشان داده شده است.

بررسی روند کلی تغییرها طی سالهای ۱۳۵۲ تا ۱۳۸۷ نشان می‌دهد که به طورکلی در دوره مطالعه درصد تاجپوشش گیاهی روند نزولی داشته است؛ به این ترتیب که در این دوره تاجپوشش طبقه ۲ دارای بیشترین تغییرها و در راستای نزول به پوشش طبقه یک بوده و از ۰-٪/۷۱

جدول ۱۰- روند تغییرها طی سالهای ۱۳۵۲ تا ۱۳۸۷ (هکتار)

| پوشش <۴۰٪ | پوشش ۴۰-۶۰٪ | پوشش ۶۰-۸۰٪ | پوشش ۸۰-۱۰٪ | پوشش >۱۰٪    |
|-----------|-------------|-------------|-------------|--------------|
| ۲۸۹       | ۲۰۳۳        | ۴۵۶۵        | ۳۳۰۳۶       | ۰-٪/۱۰ پوشش  |
| ۲۶۲۸      | ۲۸۸۵۷       | ۵۵۱۲۴       | ۶۳۰۸۱       | ۱۰-٪/۲۰ پوشش |
| ۷۴۸       | ۵۵۱۵        | ۳۵۳۶        | ۹۶۰         | ۲۰-٪/۴۰ پوشش |
| ۵۴۴       | ۱۱۸۳        | ۴۱۵         | ۲۱۸         | <٪/۴۰ پوشش   |

## بحث

Cesar و Aniya Kamusoko (۲۰۰۶)؛

(۲۰۰۳) و Tommeevik و همکاران (۲۰۰۳) در مطالعات خود بیان کردند با توجه به اینکه اطلاعات مربوط به پوشش مربوط به برخی از تصاویر ماهواره‌ای را نداشتند از مقایسه تصاویر رنگی کاذب استفاده کردند و یک برآورد کلی از وضعیت پوشش گیاهی انجام دادند و شاخصی را که بالاترین ضریب همبستگی با جدید ترین تصویر را داشت جهت تولید نقشه سایر تصاویر استفاده نمودند.

Yang و Lo (۲۰۰۶)؛ Aniya Kamusoko

و Cesar (۲۰۰۳) گزارش کردند با توجه به در اختیار نداشتن اطلاعات کامل از وضعیت گذشته منطقه بهمنظور بررسی دقت نقشه‌های تهیه شده، تنها به یک ارزیابی کلی از دقت نقشه‌های تهیه شده اکتفا کردند.

Rahdari و همکاران (۱۹۹۴)؛ Brondizio و همکاران (۲۰۰۸) در مطالعه خود بهمنظور بررسی تغییرهای کاربری و پوشش اراضی از روش مقایسه پس از طبقه‌بندی داده‌های ماهواره‌ای استفاده و بیان کردند که این روش بهدلیل نشان دادن مناطق تغییر کرده و نیز تهیه جدول تغییرها از قابلیت بالایی برای بررسی تغییرها برخوردار استند.

با توجه به در دسترس نبودن اطلاعات پوشش گیاهی از گذشته منطقه امکان بررسی پوشش گیاهی به روشهای سنتی وجود ندارد، اما داده‌های سنجش از دور امکان بررسی تغییرهای مربوط به سالهای گذشته را با پردازش‌های قابل انجام بر روی تصاویر فراهم کرده که اهمیت استفاده از داده‌های سنجش از دور در مطالعه‌های مرتع را نشان می‌دهد.

### سپاسگزاری

در پایان بر خود واجب می‌دانیم از زحمتهای آقایان مهندس ماهشانیان، مهندس نوروزی و محیط‌بانان محترم پناهگاه حیات وحش موته، بخصوص آقای مهندس جمشیدی و سایر محیط‌بانان زحمت‌کش کمال تشکر را داشته باشیم.

برهانی و همکاران (۱۳۸۰) در مطالعه خود از روش نمونه‌برداری مشابهی استفاده کردند و با توجه به فراوانی مقادیر عددی نمونه‌برداری‌های انجام شده از تاج پوشش گیاهی در هر محل نمونه‌برداری، نقشه پوشش گیاهی دسته‌بندی براساس فراوانی مقادیر تاج پوشش گیاهی دسته‌بندی کردند. در تحقیق حاضر از روش مشابهی برای طبقه‌بندی تاج پوشش گیاهی استفاده شده است و دقت نقشه‌های تهیه شده براساس ضریب کاپا، صحت کلی، دقت تولید کننده و کاربر بیان شده است.

در این مطالعه با توجه به پراکنده بودن پوشش گیاهی همانطور که پیش‌بینی می‌شد، شاخصهای فاصله‌ای که عامل خاک نیز در آنها مورد توجه قرار می‌گیرد دارای ضریب توصیف بالا و بیشتر از شاخصهای نسبی بودند. در این مطالعه شاخص SAVI با اعمال ضریب خاک L به خوبی توانسته بود درصد تاج پوشش گیاهی منطقه را توصیف کند. البته شاخص SAVI بهمنظور به حداقل رساندن اختلاف انکاس طیفی پوشش گیاهی در اثر انواع مختلف پس‌زمینه خاک ارائه شده است & Koike, ۲۰۰۶).

Masoud و Koike (۲۰۰۶) در مطالعه خود به توان شاخص SAVI در باز کردن پوشش گیاهی پراکنده مناطق بیابانی اشاره کرده است. Huete (۱۹۸۸) شاخص SAVI را یک شاخص هیبرید از شاخصهای نسبی و فاصله‌ای معرفی می‌کند. در این مطالعه با توجه به ضریب بالای توصیف درصد تاج پوشش گیاهی منطقه توسط این شاخص، از آن جهت تهیه نقشه درصد تاج پوشش گیاهی منطقه در سال ۱۳۸۷ استفاده شد. Baret و Rondeaux (۱۹۹۶) در مطالعه خود برای تهیه نقشه تاج پوشش گیاهی و بهمنظور کاهش اثر بازتاب خاک، از شاخصهای گیاهی فاصله‌ای استفاده کردند و آنها را در کاهش اثر بازتاب خاک، مؤثر بیان کردند. در این مطالعه با توجه به اینکه اطلاعاتی از وضعیت پوشش گیاهی مربوط به سالهای قبل منطقه وجود نداشت، فرض شد که شاخص SAVI دارای بیشترین همبستگی با پوشش گیاهی سالهای ۱۳۵۱ تا ۱۳۷۷ است.

- Khajedin, S.J., ۱۹۹۵. A survey of the plant communities of the Jazmorian, IRAN, using Landsat MSS data. Phd thesis, p:۴۲۰.
- Ling-Chen, X., Zhao, H.M., Li, P.X. and Yin, Z.Y., ۲۰۰۷. Remote sensing image-based analysis of the relationship between urban heat island and land use/cover changes". Remote sensing of environment, Vol. ۱۰۴, pp. ۱۳۳–۱۴۶.
- Luna, A.R. and Cesar, A.R., ۲۰۰۳. Land use, land cover changes and costal lagoon surface reduction associated with urban growth in northwest Mexico". Landscape Ecology, Vol. ۱۸, pp. ۱۵۹–۱۷۱.
- Masoud, A.A. and Koike, K., ۲۰۰۷. Arid land sanitization detected by remotely-sensed land cover changes: A case study in the siwa region, NW Egypt. Arid Environment, Vol. ۶۶, pp. ۱۵۱–۱۶۷.
- Mundia, C.N. and Aniya, M., ۲۰۰۷. amics of landuse/cover changes and degradation of Nairobi city, KENYA. Land degrade. Develop, ۱۷:۹۷–۱۰۸.
- Rahdari, V., Soffianian, A., Khajeddin, S.J. and Maleki, N., ۲۰۰۸. "Land use and land cover change detection of Mouteh wild life refuge during ۱۹۷۲–۲۰۰۶ using remote sensing and geographic information system". World Applied Science Journal ۳, (Supple ۱): ۱۱۳–۱۱۸pp.
- Rondeaux, G. and Baret, F., ۱۹۹۷. Optimization of soil-adjusted vegetation indices. Remote sensing of environment, Vol. ۶۰, ۹۸–۱۰۷ pp.
- Tommevik, H., Kjell Arild, H. and Inger, S., ۲۰۰۳. Monitoring vegetation changes in PasvikNorway and pechenga in Kola Peninsula Russia using multitemporal Landsat MSS-TM data". Remote sensing of environment, Vol. ۸۵, ۳۷۰–۳۸۸ pp.
- Yang, X. and Lo, C.P., ۲۰۰۲. Using a time series of satelite imagery to detect land use and land cover change in the Atlanta,Georgia metropolitan area. Remote sensing, Vol. ۲۳, No. ۹, ۱۷۷۰–۱۷۹۸.

### منابع مورد استفاده

- برهانی، م.، ۱۳۸۰. مقایسه روش‌های برآورد پوشش و تراکم در منه‌زارهای استپی استان اصفهان. پایان نامه کارشناسی ارشد علوم مرتع داری، دانشگاه صنعتی اصفهان، دانشکده منابع طبیعی، ۱۳۰ صفحه.
- علوی پناه، س.ک.، ۱۳۸۳. کاربرد سنجش از دور در علوم زمین. انتشارات دانشگاه تهران، صفحه ۴۷–۵۳.
- علوی پناه، س.ک.، احسانی، ا.ه. و امیدی، پ.، ۱۳۸۳. بررسی بیابانزایی و تغییرات اراضی پلایای دامغان با استفاده از داده‌های ماهواره‌ای چندزمانه و چند طیفی. مجله بیابان، جلد ۹، شماره ۱، صفحه: ۱۴۳–۱۵۴.
- سفیانیان، ع.، ملکی، س. و راهداری، و..، ۱۳۸۸. بررسی دو شاخص کمی کردن الگوهای چشم‌انداز با استفاده از سامانه‌های اطلاعات جغرافیایی. ویژه‌نامه علوم و فنون آب، خاک و منابع طبیعی، دانشگاه صنعتی اصفهان، ص: ۱۰۰–۸۵. سال ۱۳، شماره ۴۹، صفحه: ۱۴۱–۱۵۱.
- Alexander, R. and Millington, A.C., ۲۰۰۰. Vegetation Mapping. John Wiley and sons, Inc. New York.
- Brondizio, E.S., Moran, E.F. and Wu, Y., ۱۹۹۴. Land Use Change in the Amazon Estuary: Patterns of Caboclo Settlement and Landscape Management. Human Ecology, Vol. ۲۲, No. ۳.
- Esteman, J.R., ۱۹۹۵. idrisi for windows user guid version ۱/۰. Clark University, pp: ۷۹–۸۴.
- Huete, A.R., ۱۹۸۸. a Soil-adjusted vegetation index. Remote sensing of environment, Vol. 25, pp. ۲۹۵–۳۰۹.
- Johnson, R.D., ۱۹۹۸. Change vector analysis: a technique for multispectral monitoring of land cover and condition. Remote sensing, Vol: ۱۹, No. ۳, pp. ۴۱۱–۴۲۶.
- Kamusoko, C. and Aniya, M., ۲۰۰۷. Landuse/cover change and landscape fragmentation analysis in the Bindura district Zimbabwe," Land Degradation & Development, pp: ۲۲۱–۲۲۳.

## Change detection of canopy cover percentage using satellite data during ۱۹۷۲ to ۲۰۰۸ (case study: Mouteh Wild Life Refuge)

**Rahdari, V.\*<sup>۱</sup>, maleki, S.<sup>۲</sup>, Soffianian, A.R.<sup>۳</sup>, Khajeddin, S.J.<sup>۴</sup> and Pahlevanravi, A.<sup>۵</sup>**

\*-Corresponding Author, Research Instructor, Faculty of Natural Resources, Zabol University, Zabol, Iran,

Email: vahid\_rahdary@yahoo.com

<sup>۱</sup>- Research Instructor, Faculty of Natural Resources, Zabol University, Zabol, Iran.

<sup>۲</sup>- Assistant Professor, Faculty of Natural Resources, Isfahan University of Technology, Isfahan, Iran.

<sup>۳</sup>- Professor, Faculty of Natural Resources, Isfahan University of Technology, Isfahan, Iran.

<sup>۴</sup>- Assistant Professor, Faculty of Natural Resources, Zabol University, Zabol, Iran.

Received: ۲۷, ۱۲, ۲۰۱۰

Accepted: ۱۸, ۰۲, ۲۰۱۲

### **Abstract**

Using satellite data is considered as one of the influential tools in the field of rangeland science. In this study, satellite data were used in order to prepare the map of canopy cover percentage Mouteh wildlife refuge in Isfahan province during ۱۹۷۲ and ۲۰۰۸. Vegetation indices were produced using MSS sensors for ۱۹۷۲, TM for ۱۹۸۷, TM for ۱۹۹۸ and image of LISS III sensor for ۲۰۰۸. To make correlation between canopy cover percentage and satellite data, ۲۹۰ plot data with appropriate distribution across the region were collected by stratified random sampling method. By using data and prepared vegetation indices, canopy cover percentage was estimated for previous years and corrections between field sampling and vegetation indices were estimated. With regard to data analysis, SAVI index had the highest correlation equal to ۰.۷۸ with canopy cover percentage. Therefore, using the produced model from SAVI index, the map of canopy cover percentage was produced in four classes for each year and the changes of canopy cover percentage were detected using post classification change detection method. Results showed that during ۱۹۷۲ to ۲۰۰۸ canopy cover percentage decreased in this period so that low canopy cover areas (-۱۰%) increased from ۴۰,۱۶۲ to ۹۰,۰۹۷ hectares along with a reduction of ۱۰-۲۰% in canopy cover percentage.

**Key words:** Satellite data, Mouteh, vegetation indices, soil coefficient, canopy cover, change detection